#### ХИМИЧЕСКАЯ ТЕХНОЛОГИЯ

# а. м. гаспарян, а. а. заминян СТЕСНЕННОЕ ПАДЕНИЕ ЧАСТИЦ

## Стесненное падение монодисперсных сферических частиц (Сообщение 2)

В сообщении [1] было показано, что все авторы, исследовавшиестесненное падение, предлагают уравнения, могущие быть приведенными к виду:

$$C = KC_0 m^n. (1)$$

Подразумевается, что оно относится к монодисперсным сферическим (или почти сферическим, сильно округлым) частицам. Там же показано наличие больших расхождений в уравнениях различных авторов, несмотря на структурную идентичность этих уравнений типа (1). Было высказано мнение, что эти расхождения следует объяснить неодинаковостью условий экспериментов и недостаточностью учета различных факторов, могущих повлиять на точность и объективность получаемых опытных величии, то есть неудовлетворительной разработанностью методики эксперимента.

Там же [1] изложены результаты исследований методики взвешенного слоя и те требования, соблюдение которых обеспечивает получение надежных опытных данных.

С целью уточнения величин K и n (и их зависимости от числа Рейнольдса), входящих в уравнение (1) и обусловливающих расхождения в данных различных авторов, нами были проведены соответствующие экспериментальные исследования, результаты которых излагаются ниже.

## Примененные твердые частицы и среды для их взвешивания

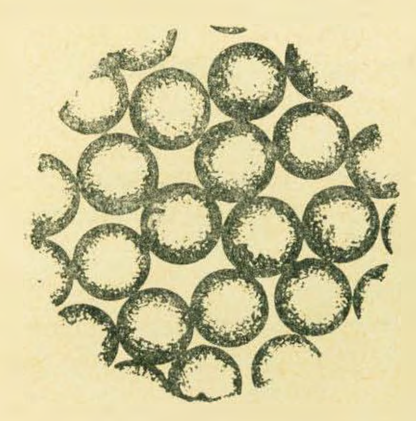
Одним из важнейших требований является доброкачественность применяемых для эксперимента частиц. Они должны быть: а) гомогенными по плотности, б) строго сферическими по форме и в) повозможности одинаковыми по величине — монодисперсными. Нами для экспериментов были применены частицы из следующих материалов:

Стеклянные шарики, изготовленные ранее описанным способом [2], выделялись в фракции путем просеивания и гидравлической сепарации. По форме они вполне сферичны, что видно из рисунка 1, на котором изображены шарики диаметром 68,1 микрона.

*Парафиновые шарики* готовились по способу, изображенному на рисунке 2.

Расплавленный парафин из колбы 2, помещенной в ультратермостате 1, где поддерживается температура 80—90°C, выдавливается

воздухом через монжусную трубку 3 в колонку 5, заполненную водой. Воздух, выдавливающий жидкий парафин,





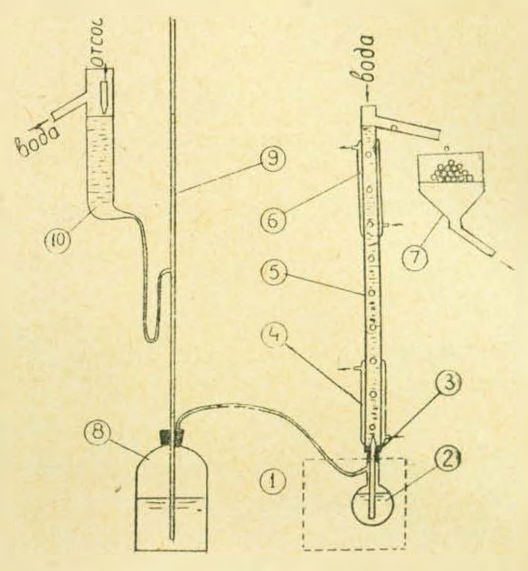


Рис. 2.

находится под постоянным напором воды, осуществляемым установ-кой, состоящей из сосуда постоянного напора 10, пъезометрической трубки 9 и баллона 8.

Выходящий из наконечника трубки 3 жидкий парафин принимает форму капли, которая, вырастая до определенного размера, отрывается, имея при этом сферическую форму, а на ее месте образуется новая капля. Подогревателем 4 и холодильником 6 создается режим, благоприятный для затвердевания капли по возможности с меньшим деформированием сферической формы. При затвердевании объем парафина сильно уменьшается, поэтому быстрое охлаждение капелек приводит к сильным деформациям.

Свинцовые шарики выделялись из большой партии охотничьей дроби.

Стальные монодисперсные шарики представляли собой продукцию подшипникового завода, имели сферическую форму и практически одинаковый размер: 1 мм в диаметре.

Монодисперсные чугунные шарики были получены из чугунной дроби. Около 30 кг дроби, в которой имелись шарики от 1 до 3 мм, были просеяны через сито размером 2 мм. Прошедшие через сито и не прошедшие отбрасывались, а те шарики, которые застревали в отверстиях сита, собирались отдельно как более монодисперсная фракция. Таким образом, было выделено около 1 кг шариков, затем повторным пропусканием через сито отобрано 0,5 кг, которые в альнейшем были использованы.

Алюмосиликатные, почти монодисперсные шарики были выделены из большой партии шарикового катализатора для крекинга нефти. Выделение отдельных размеров проводилось так, как в вышеописанном случае выделения двухмиллиметровых чугунных шариков.

Для выявления степени монодисперсности и для определения точного размера были отобраны средние пробы из полученных шариковы и из этих проб по 50—100 штук для каждого вида были тщательно обмерены. Диаметр каждого шарика измерялся в пяти направлениях и бралось среднеарифметическое значение; из полученных значений рассчитывалось среднее значение диаметра для испытуемых частиц.

В табл. 1 сведены результаты измерений.

Таблица 1

Средний диаметр монодисперсных частиц в мм	2,897	2,426	2,119	1,983	1,3015	0,9716
Макс. процент отклонения от среднего значения диаметра (сте- пень монодисперсности)	3,0	3,5	4,5	3,1	3,0	6,4
Макс. отклонения от среднего диаметра в отдельном шарике (степень сферичности шарика)	2,0	1,9	1,2	2,0	1,9	0,5

Алюмосиликатные шарики сильно пористы, причем, как показали определения, для различных размеров шариков пористость имеет постоянное значение и равна m=0,539. При помещении в воду шарики полностью заполняются водой. Плотность алюмосиликатных шариков, насыщенных водой, не зависит от размеров шариков и равна  $1.65\ z/cm^3$ . Можно также расширять алюмосиликатные шарики в других средах, только для этого необходимо тщательно высушить их, насытить новой средой и определить плотность либо пикнометрически, либо исходя из пористости.

Основные данные по всем примененным нами частицам сведены в табл. 2. Среднее значение диаметров сфер, за исключением алюмосиликатных, определено весовым способом по выражению:

$$\partial = \sqrt[3]{\frac{6G}{\pi n \rho}}$$

где n — число отсчитанных и взвешенных частиц,  $\rho$  — их плотность. Все приведенные в таблице плотности определены нами. Под "степенью монодисперсности" подразумевается соотношение диаметров наибольших и наименьших частиц, входящих в данную фракцию. Эта величина для стеклянных шариков определена при помощи микрофотоснимков. Для парафиновых шариков по размерам сит, за исключением частиц с диаметром 0.2475, являющихся почти монодисперсными и изготовленными специальным, трудоемким, способом.

В качестве среды использовались: вода при различных температурах—от 10 до 90°С, глицериновые водные растворы (от 20 до 95%) 3. Изв. ТН, N 5

Таблица 2

Данные Матери <b>а</b> л	Фракции сфер	Средн <b>и</b> й днаметр сфер <i>см</i>	Плот- ность в г/см <sup>3</sup>	Степень монод ис- персности а
The state of the s				
Гарафиновые шарики  Свинцовые шарики  Стальные шарики Чугунные шарики Алюмосиликатные шарики	-270 меш200+270 меш140+200 меш140+200 меш70+100 меш50+70 -0,84+0.7 мм -1+0,84 мм -1,29+1 мм -1,68+1,29 мм -2+1,68 мм -2,5+2 мм -3+2,5 мм -1+1,29 мм -1+1,29 мм -1,29 мм	0,00681 0,0071 0,00887 0,01274 0,01805 0,0274 0,0769 0,0887 0,1075 0,1506 0,1895 0,2335 0,2942 0,2475 0,1225 0,350 0,100 0,2005 0,2897 0,2426 0,1983 0,13015 0,2119 0,09716 0,13015 0,09716	2,49 2,49 2,49 2,49 2,49 0,905 0,908 0,906 0,906 0,906 0,906 11,0 11,0 7,76 7,54 1,65 1,65 1,65 1,65 1,65 1,77 1,77	1,22 1,40 1,40 1,40 1,40 1,30 1,20 1,29 1,30 1,20 1,25 1,05 1,29 1,15 1,01 1,10 1,06 1,07 1,06 1,07 1,09 1,13 1,13

глицерина), содовые растворы плотностью до 1,05  $\it r/cm^3$  и бромоформ плотностью 2,87  $\it r/cm^3$ .

## Измерение С. Обработка опытного материала

Скорость стесненного падения C измерялась способом взвешенного слоя с учетом по возможности всех требований, вытекающих из изучения вопросов методики [1].

В зависимости от условий были применены шесть различных схем осуществления способа взвешенного слоя.

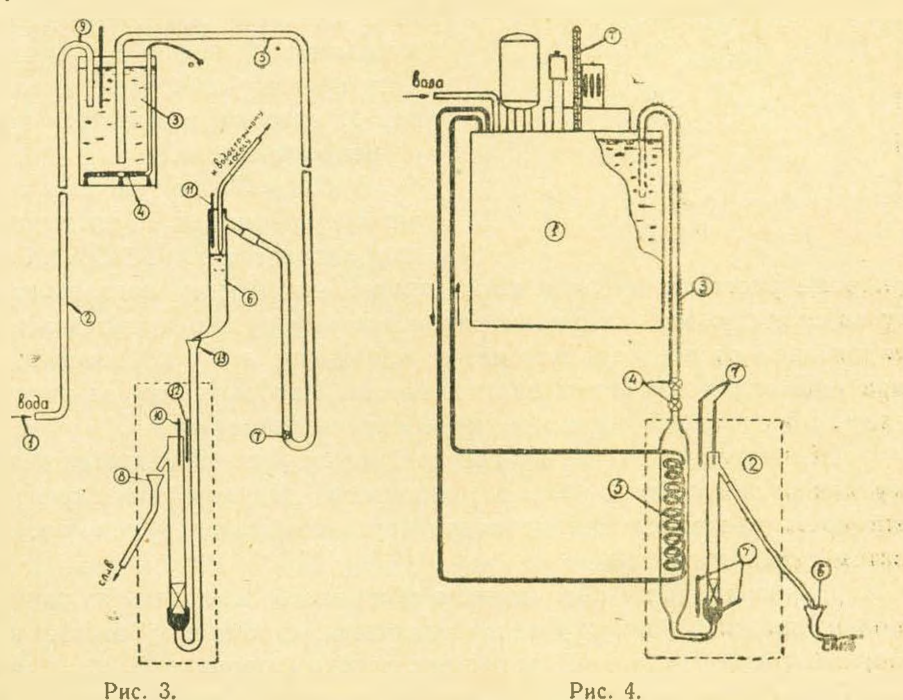
1. Схема для расширения водой при малых расходах, в пределах комнатных температур. Основной частью схемы, изображенной на рис. З, является прибор, состоящий из градуированного полого стеклянного цилиндра, в нижнем конце которого, у деления ноль, установлена сетка для поддержания частиц. В верхней части цилиндра припаян отвод для слива воды. Цилиндр вставляется в более широкую трубку, заполненную свинцовыми шариками для обеспечения равномерности подхода потока. Заранее охарактеризованный материал определенной навески засыпался в цилиндр на сетку и взвешивался потоком воды.

Вода из водопровода 1 подается в напорный бак 3, снабженный электроподогревателем 4, откуда самотеком по трубке 5 поступает в сосуд постоянного напора 6, из которого излишек воды удаляется водоструйным насосом. Подача воды регулируется съемными наконечниками 13 и изменением высоты уровня в сосуде 6. Вода после колонки расширения поступает в воронку 8 и сливается.

Термометрами 9, 10 и 11 контролируется температура воды, а термометром 12— температура воздуха вокруг прибора.

При нормальной работе установки производились следующие замеры:

объемной скорости подачи воды, высота взвеси соответствующей данной скорости воды и температуры термометрами 10, 11 и 12. Постоянство комнатной температуры обеспечивалось электронагревательным шкафом с автоматической регулировкой температуры электронным реле.



- 2. Схема для расширения при высоких температурах (ниже точки кипения среды), рис 4. Нагретая до требуемой температуры в ультратермостате 1 вода, по трубке 3 поступает в подогреватель 5, откуда поступает на прибор, последний вместе с подогревателем вмонтирован в воздушный термостат 2. Замеры те же, что и при схеме 1. Расход регулируется кранами 4. Температурный контроль осуществляется пятью выверенными термометрами 7.
- 3. Схема для работы при больших расходах воды. Когда необходимы большие расходы воды (до 1  $n/ce\kappa$ ), что имеет место при взвешивании частиц, имеющих большие значения Re. работа по схеме

рис. З невозможна. Надежной средой с устойчивой температурой является водопроводная вода, при условни большого расхода последней.

4. Схема для работы с ограниченным количеством среды. В случае работы с жидкостями, количество которых не превышает нескольких литров, использовалась схема, изображенная на рис. 5.

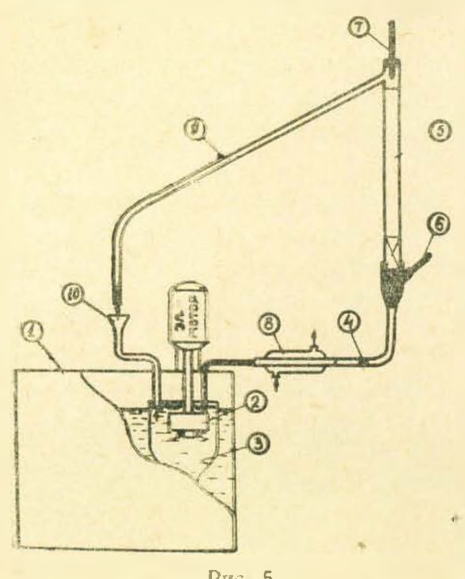


Рис. 5.

Основной частью схемы является ультратермостат 1, у которого снят перемешивающий пропеллер, и насос 2 погружен в воронку с рабочей средой. Среда из емкости 3 насосом 2 подается в колонку 5, где происходит расширение. Колонка снабжена двумя термометрами 6 и 7, расход среды регулируется краном 4. При работе с вязкими жидкостями возможен местный нагрев 2, поэтому на пути среды установлен холодильник 8, который включается по мере необходимости.

5. Схема для работы с концентрированными растворами глицерина (от 80 до 100 С). Глице-

риновые растворы высокой концентрации интенсивно поглощают влагу из воздуха Работу с глицерином поэтому нужно проводить в изолированной от воздуха системе, во избежание его разбавления, что приводит к резким изменениям вязкости. Изображенная на рисунке 6 схема обеспечивает нормальную работу на глицерине.

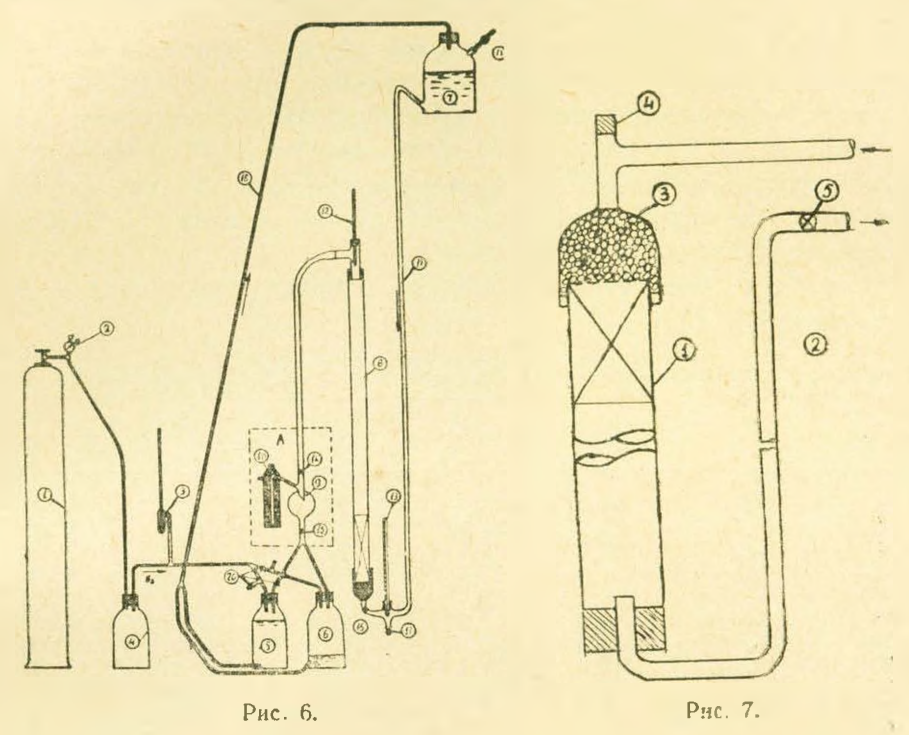
Жидкость из напорного сосуда 7 по трубке 19 подлется в колонку для расширения 8, расход жидкости регулируется краном 14, жидкость после колонки проходит через измерительную емкость 9 и затем сливается в сборник.

Одновременно с наполнением сборника 6 жидкость из ранее нанолнившегося сборника 5 передавливается, с помощью азота, в напорный сосуд 7, с такой скоростью, чтобы уровень в 7 не изменялся. Таким образом, обеспечивался постоянный расход жидкости. Жидкость из сборника 5 передавливается в 7 следующим образом. Азот из баллона высокого давления 1, через редуктор 2, поступает в рессивер 4, откуда — в сборник 5. Под давлением азота жидкость по трубопроводу 18 поступает в сосуд 7. За некоторое время до полного наполнения сборника 6 сборник 5 подготавливается к приему жидкости: закрывается линия подачи в 7, сбрасывается давление и открывается доступ жидкости из 8. Затем ставится на выдавливание сборник 6, путем переключений зажимов 20.

Описанным способом можно обеспечить непрерывную работу установки на любое время. Напорный сосуд 7 "дышит" через хлор-

кальциевую трубку 11. Контроль за давлением в системе осуществляется при помощи ртутного манометра 3. На выходе и входе жидкости в колонку 8 установлены термометры 12, 13 с делениями 0,1°С.

Кран 16 служит для отключения сосуда 7 от системы при остановках, а зажим 17—для слива жидкости из 7.



Измерение расхода среды. Для измерения расхода служит приспособление, изображенное на узле А. Когда не производятся замеры расхода, и жидкость поступает в один из сборников, измерительная емкость 9 пуста (кран 15 открыт). При измерении расхода кран 15 закрывается и фиксируется время заполнении 9 от нижней метки до верхнего отвода. При заполнении 9 находящийся в измерительной емкости газ выдавливается в атмосферу через хлор-кальциевый влагоулавливатель 10. Как только уровень жидкости в 9 доходит до верхнего отвода, открытием крана 15 жидкость сливается в сборник. Емкость 9 заполняется очищенным от влаги воздухом из 10. Объем 9 предварительно откалиброван на воде и на глицерине.

6. Схема для взвешивания смеси частиц меньшей плотности, чем среда. Среда насосом термостата подается в верхнюю часть колонки расширения (рис. 7) и, пройдя слой свинцовых шариков 3 для равномерности подхода потока, расширяет смесь частиц 1 и затем по 2 поступает обратно в термостат. Подача жидкости на расширение регулируется краном 5. Отвод 4 служит для периодического удаления возможных накоплений воздуха. Замеры аналогичны замерам схемы 1.

В случае работы с парафиновыми частицами лучше в качестве среды применять содовые растворы. В чистой воде они образуют агрегаты, что нарушает равномерность взвеси.

По описанным схемам, в средах, указанных выше, и с частицами, приведенными в табл. 2, было произведено 47 серий опытов по определению скоростей стесненного падения.

Для иллюстрации приводится один пример (серия № 43) таких измерений и обработки полученных данных. Все остальные серии опытов идентичны приведенному примеру. Объект расширения стальные шарики  $\partial=0.10~cm$ ;  $\rho=7.76~z/cm^3$ , навеска 39.42~z, монолитный объем навески 39.42;  $7.76=5.08~cm^3$ ; среда — вода, средняя температура  $25^{\circ}$ С. Диаметр колонки D=1.525~cm, ее сечение  $F=1.818~cm^2$ . Измерения проводились по схеме 1.

В табл. З приведены первичные лабораторные записи и подсчеты серии № 43.

Таблица 3 Взвешивание монодисперсных стальных шариков в  $\partial = 0.1$  с.и в воде (серия № 43)

№	V	Q	0	t	С	φ
1	9,7	98.0	12,7	25,0	4,24	0,524
2	9,7	231,0	30,0	25,1	4,24	0,524
2 3 4	10,2	228,0	26,6	25,0	4,72	0,498
4	10,2	234,0	27,3	25,1	4,72	0,498
17	15.7	254,0	13,4	25.1	10,42	0,323
18	15,7	240,0	12,6	25.1	10,47	0,323
19	16,9	427,0	20,7	25,1	11,34	0,300
20	16,9	417,0	20,4	25,1	11,23	0,300
27	25,4	456,0	15,4	25,2	16,28	0,200
28	25,4	459,0	15,5	25,2	16,28	0,200
29	28,4	463,0	14,6	25,0	17,3	0,180
30	28,3	463.0	14,7	25,1	17,4	0,179
35	42,4	484.0	12,4	25,2	21,48	0,120
40	60,0	492,0	11,2	25,0	24,1	0.0848
41	94,0	482.0	9,35	25,2	28,35	0,0511
42	91,0	487,0	9,70	25,4	27,65	0,0559
43	77,0	486,0	10,2	25,0	26,2	0,066
44	77,0	486,0	10,2	25,1	26,2	0,066
45	50,8	482,0	11,55	25,0	22,93	0,100
46	30,0	472,0	14,3	25,0	18,17	0,1695

Премечание к табл. 3. V — Объем взвещенного, слоя  $c M^3$ .

Q — Расход воды,  $c M^3 / c e \kappa$ .

t — температура среды, С.

С — скорость в свободном сечении колонки, см/сек.

объемная доля твердой взвеси

$$C = \frac{Q}{\Theta F}; \ \forall \ -\frac{G_{\text{HaB.}}}{\rho_{\text{HaB.}} V} \ .$$

По подсчитанным значениям C и  $\varphi$  (табл. 3) строится кривая  $C = f(\varphi)$  (рис. 8). С этой кривой снимаются данные первого и второго столбцов таблички (рис. 8) и по цифрам столбцов три и четыре строится линия  $\lg C = f_1(\lg m)$ .

Основные показатели всех 47 серий опытов сведены в табл. 4.

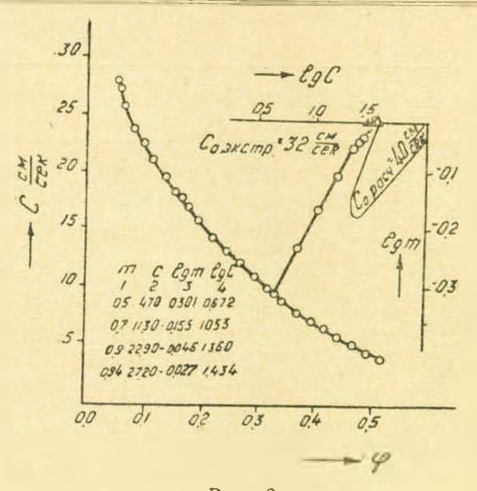


Рис. 8.

Таблица 4

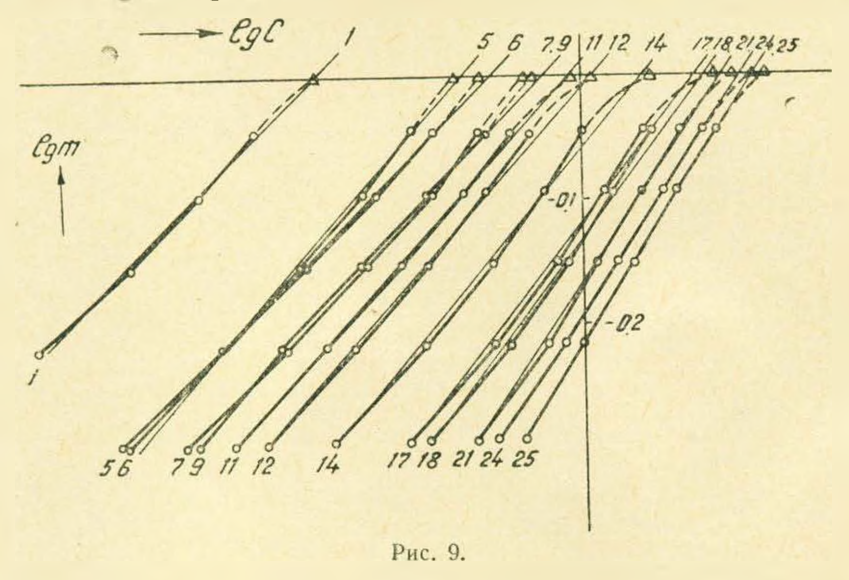
#### Сводка основных показателей опытов

	оводка основных показателен опытов										
ž.		Частицы			Среда						
мм серий	Re	д	ρ1	наве-	h	P	$D/\partial$	$C_0$ расчетн.	С <sub>о</sub> экстрапо-	К	n
2				S					·		
1	2	3	4	5	6	7	8	9	10	1.1	12
1 2 3 4 4 5 6 6 7 8 9 9 10 11 12 13 13 14 15 16 6 17 18 19 20 21 22 23 24 25 26 27 28 29 30 31 32 33	0,0382 0,0753 0,0846 0,179 0,269 0,511 0,565 0,603 0,905 1,412 2,410 3,58 4,73 -9,66 9,76 10,48 13,1 17,4 18,6 23,2 26,2 32,9 48,4 54,3 56,2 76,0 90,8 95,5 107,5	0,0071 0,0972 0,2005 0,1301 0,00618 0,0071 0,00887 0,100 0,01274 0,100 0,01805 0,100 0,01805 0,100 0,01805 0,0274 0,074 0,0769 0,0887 0,0274 0,100 0,1	2,49 1,77 7,54 1,77 2,49 2,49 2,49 7,54 2,49 7,76 2,49 7,76 2,49 2,49 2,49 0,905 0,908 2,49 7,76 0,908 2,49 1,65 1,65 0,906	3.8 25.0 4,76 110.0 5,53 4,64 25.0 3,40 25.0 25.0 281 2,89 48.09 49,30 2,53 25,0 47,38 2,53 2,53 46.5 25,0 24,61 30,0 45,0 25,0 24,61 30,0 25,0 24,85	0,0485 0,980 0,810 0,935 0,01 0,01 0,01 0,8272 0,091 1,78 0,0123 0,0099 0,3742 0,01 0,2538 0,163 0,01 0,0396 0,0124 0,0121 0,0065 0,0124 0,0121 0,0044 0,0121 0,0044 0,0121 0,00473 0,0129 0,0129 0,0129 0,01293 0,01166	1,124 1,216 1,247 1,216 1,000 1,000 1,000 1,219 1,00 1,227 1,00 1,200 1,00 1,00 1,00 1,189 1,175 1,00 1,046 1,036 0,991 1,152 1,036 0,969 1,036 1,120 1,00 1,00 1,00 1,00 1,00 1,00 1,0	138 28 14 21 158 180 110 15 143 14 100 100 15 54 15 36 36 44 38 36 15 32 36 36 23 15 28 25 18 15 15 15 15 15 15 15 15 15 15 15 15 15	0,0765 0.317 2.05 0.50 0.290 0,379 0.577 3,82 0.621 6,33 0,91 1,10 7,52 1,98 10,1 13,4 3,56 3,66 2.01 2,28 4,44 17,97 2,84 5,45 6,17 4,18 23,75 7,75 8,90 5,39 27,9 10,7 6,85	0.0765 0.258 1,86 0.462 0.306 0.407 0.660 3,82 0.660 5.20 0.91 1,10 5,70 1,78 8,15 11,2 3,07 3,25 1,59 1,89 4,00 14,8 2,24 4,85 5,32 3,38 19,00 6,23 7,00 3,95 22,00 8,55 5,07	0.91   0.93   1.06   1.08   1.15   0.82   1.00   1.00   1.00   0.84   0.84 	4,70 4,60 5,0 4,92 4,84 4,92 4,60 4,70 4,32 4,17 3,92 4,00 3,83 3,54 3,54 3,60 3,30 3,26 3,25 3,23 3,16 3,06 3,02 3,02 3,02 3,02

							Продолжение таблицы 4			
1	2	3	4	5	6	7	8	9	10	11 12
34 35 36 37 38 39 40 41 42 43 44 45	151,3 221,0 234,0 248,0 278,4 282,0 312 359 0 405,0 447,0 473,0 525,0	0,2475 0,2942 0,100 0,1983 0,2119 0,100 0,227 0,2426 0,264 0,100 0,2897 0,1225	0,89 7.76 1,65 1,65 7,76 1,65 1,65 1,65 7,76 1,65	43,1 44,06 250 788,0 157,2 25,0 150,0 156,32 138,6 39,42 824,46 67,14	0,01203 0,0114 0,01572 0,01271 0,01271 0,0128 0,0129 0,01271 0,0128 0,00894 0,01271 0,01288	1,037 1,025 1,047 1,00 1,00 2,874 1,00 1,00 1,00 1,00	21 12 15 57 24 15 49 21 42,6 15 39 13	7,11 8,72 35,2 15,9 16,72 18,6 17,6 19,0 19,6 40,0 20,8 55,2	5,50 6,00 27,5 12,5 13,2 14,7 ————————————————————————————————————	0.77 2,96 0,78 2,78 0,84 2,90 0,83 2,83 0.79 2,80 0,84 2,85 — 2,80 0,76 2,75 — 2,80 0,80 2,73 0,90 2,72 0,87 2,65
46 47	945,0 2960,0	0,2005 0,3500	7,54	724,57 865,3	0,01293 0,01293	1,00 1,00	25 15	60,7 108,0	48,0 84,0	0,79 2,65 0,77 2,62

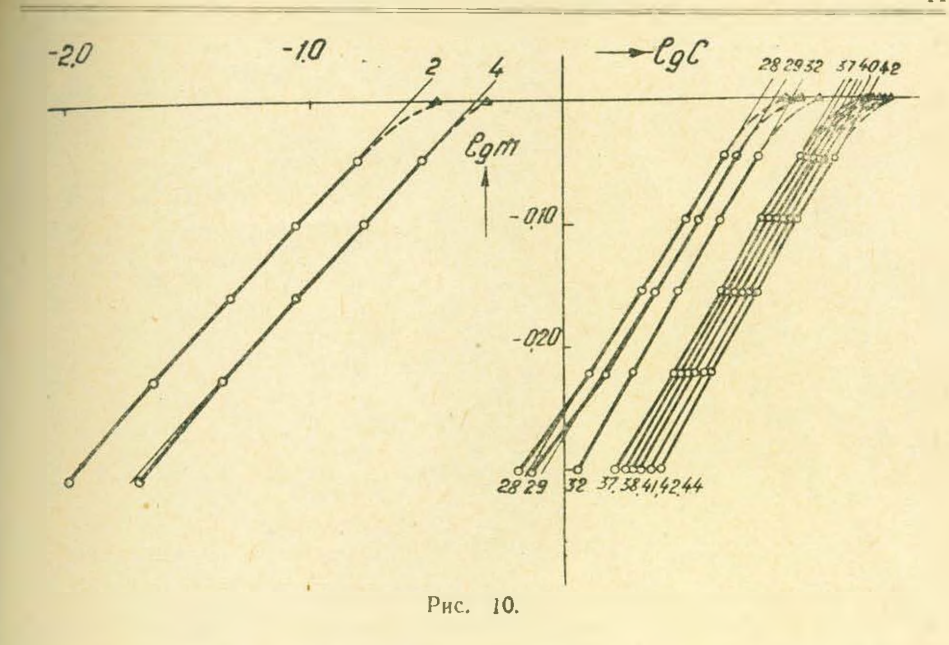
Примечания к табл. 4. Re — отнесено к свободно падающей частице; расчетные значения  $C_0$  определены по способу Лященко и на рисунках представлены треугольниками (рис. 8 и др.); экспериментальное значение  $C_0$  определено графически, как это показано на рис. 8 и др.; значение K уравнения (1) определяется как соотношение этих двух  $C_0$ ; значение n уравнения (1) определяется наклоном прямой в координатах  $\lg C_0 - \lg m$ .

На рисунках 9, 10, 11 и 12, эти же серии опытов показаны в координатах  $\lg C - \lg m$ .



### Обработка результатов исследования

Как было указано, почти все формулы, предложенные за последние годы для определения скорости стесненного падения, могут быть приведены к виду (1).



Эта формула взаимосвязи является достаточно простой, но она становится еще понятней, если коэффициент К приравнять единице. т. е. когда



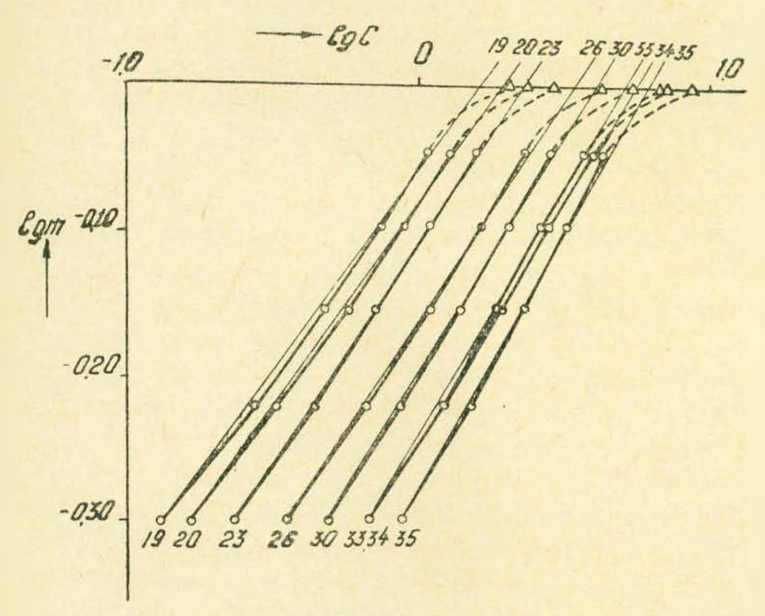


Рис. 11.

Недостаток уравнения (1) заключается в том, что его нельзя применить для случаев, когда значение m близко к единице или равно единице. Получается, что  $C = KC_0$ , что, очевидно, нелогично, если  $K \neq 1$ .

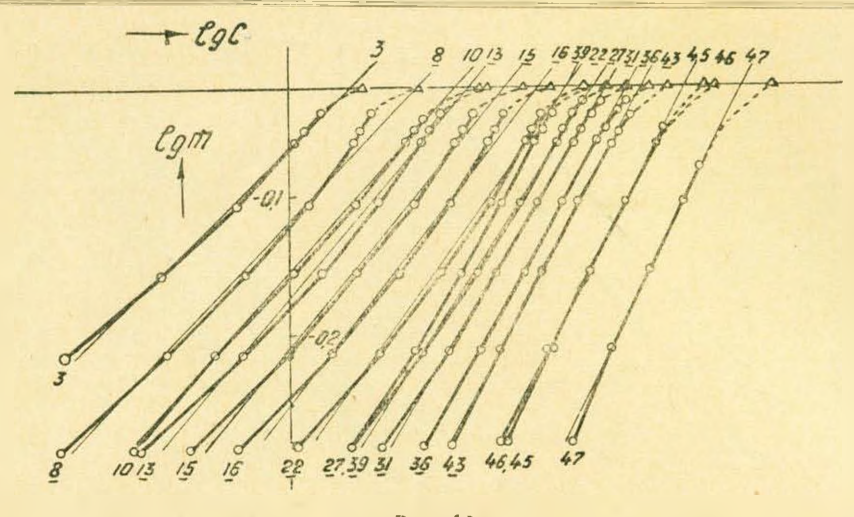


Рис. 12.

Уравнение (1) или (2) удобны для проверки и выяснения степени справедливости всех тех уравнений, которые могут быть приведены в такой вид. Мы, например, ранее [3] наш начальный опытный материал подвергли графической обработке в координатах  $\lg\beta-\lg\frac{C\partial\rho}{m\mu}$ . В этих координатах экспериментальные точки хорошо ложатся на одной прямой, которая удовлетворительно близко проходит через точку, соответствующую  $C_0$ , т. е. через точку  $\lg Re$ . Но когда тот же опытный материал обрабатывается в координатах  $\lg C - \lg m$ , тогда в большинстве случаев и прямолинейность расположения точек и прохождение линии через точку, соответствующую  $C_0$ , становятся явно неудовлетворительными.

Л. Н. Еркова и Н. И. Смирнов [5] свой опытный материал подвергли графической обработке в координатах  $Re'-Arm^3$ .

Такая обработка хороша тем, что сразу получается общая усредняющая кривая для всех серий опытов, но при этом отдельные детали и отклонения затушевываются и становятся незаметными. Между тем в стадии поисков возможно точных взаимосвязей и влияющих на процесс факторов эти детали и отклонения могут оказаться важными. В этих координатах можно также обрабатывать отдельно каждую серию опытов, но при этом становится чувствительной громоздкость необходимых расчетов.

Для ясности приводится рис. 13 на котором изображен пример графической обработки опытов серив № 16 (табл. 4) в указанных трех системах координат. Из рисунка видно, что в случае "a" все экспериментальные точки вместе с расчетной точкой, соответствующей  $C_0$ , достаточно хорошо ложатся на одной прямой. В случаях же "b" и "b" ясно видно, что экспериментальные точки не составляют прямую, а расчетная точка, соответствующая  $C_0$ , резко отодвинута вправо. На основании изложенного, опытный материал обработан в координатах  $\lg C$  и  $\lg m$ .

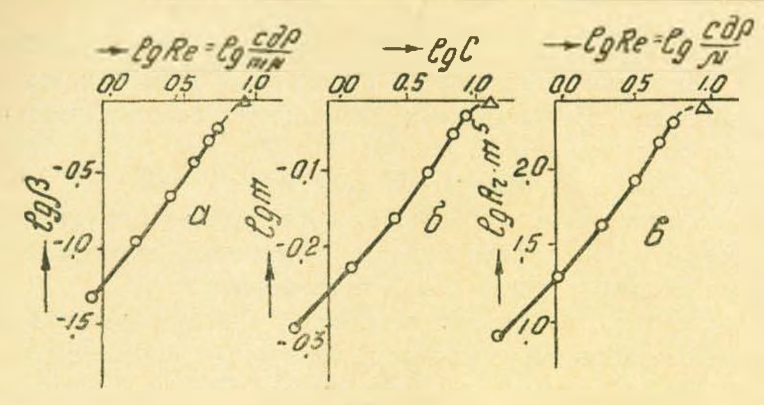


Рис. 13.

На рисунках 9, 10, 11 и 12 олытные точки отмечены кружками и соединены между собой жирными сплошными линиями. Треугольниками отмечены точки, соответствующие расчетным значениям  $C_0$ . Жирным пунктиром проведены участки ориентировочной интерполяции. Тонкой сплошной линией проведена усредняющая прямая, при помощи которой и определено среднее значение n и значение экстраполированной  $C_0$ . Номерация линий соответствует номерам серии опытов.

Какие предположения и выводы можно сделать из этих рисунков?

Рис. 9 изображает серии опытов по взвешиванию стеклянных шариков. Эти шарики вполне гомогенны по плотности и имеют почти идеальную шарообразную форму, но они недостаточно монодисперсны (табл. 2). Как было указано ранее [4], немонодисперсность должна привести к некоторой выпуклости линии вправо. Кроме того, это должно привести к уменьшенным значениям  $C_0$ , определяемым экстраполяцией. Оба эти явления имеют место в большинстве случаев на рис. 9. Однако расхождения от прямой линии настолько велики, что они не могут быть объяснены только немонодисперсностью, в особенности для серий  $\mathbb{N} \mathbb{N} 12$ , 14, 17, 18 и 21.

На рис. 12 изображены опыты по взвешиванию металлических шариков. Большинство опытов, т. е. 10 серий из 15-ти, касаются стальных шариков, которые по сферичности, монодисперсности и плотности явились почти идеальными и наилучшими из всех примененных нами шариков. Номера линий этих шариков подчеркнуты. Мы видим, что большинство линий стальных шариков отходят от прямой, что нельзя объяснить немонодисперсностью или другими недостатками испытуемого материала.

На рис. 10 и 11 приведены опыты по взвешиванию алюмосиликатных и парафиновых шариков. Линии по форме такие же, как и на предыдущих рисунках, только отход от прямой выражен менее рельефно. Нужно указать, что эти шарики уступают стальным шарикам и по совершенству формы и по монодисперсности и гомогенности. Как уже указывалось, алюмосиликатные шарики мелкопористы. Эти недостатки не могут так или иначе не повлиять на эксперименты, поэтому мы наибольшее предпочтение отдаем опытам со стальными шариками, а затем со стеклянными.

На всех рисунках отмечается следующее.

- 1. В областях малых и больших чисел Рейнольдса (соответствующих ламинарному и турбулентному движениям) экспериментальные точки сравнительно хорошо ложатся на прямой.
- 2. Кроме того, в области малых чисел Рейнольдса эта прямая достаточно удовлетворительно проходит через точку, соответствующую  $C_0$ .
- 3. В области средних значений числа Рейнольдса (примерно от 0,5 до 500) экспериментальные точки явно и часто резко отходят от прямой линии, показывая тем самым, что уравнение типа (1), где по-казатель *п* считается постоянным (для данной серии), не отражает действительной закономерности.
- 4. Если все же по экспериментальным точкам провести усредняющие прямые (тонкие линии на рисунках), то в переходной области с увеличением Re увеличивается уклон этих усредняющих прямых, т. е. уменьшается степень n.

По значениям n и Re, приведенных в табл. 4 составлен рис. 14.

Точки, соответствующие стальным шарикам, отмечены сплошными черными кружками. Согласно проведенной усредняющей линин,

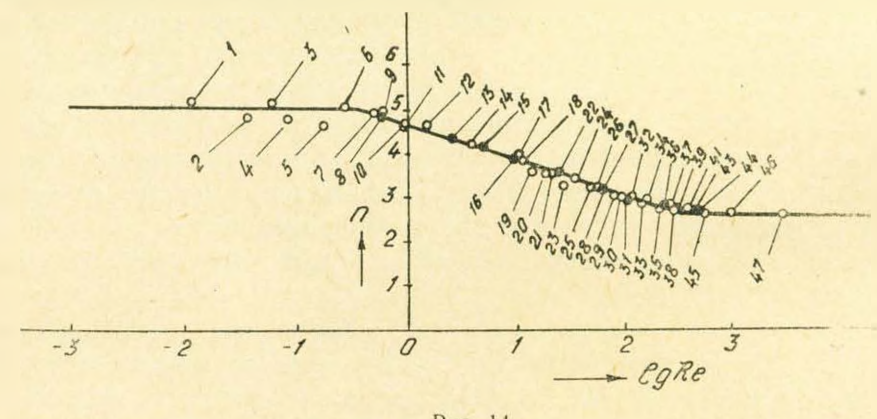


Рис. 14.

вся область (от числа Рейнольдса 0,0126 до 2960) делится на три участка: ламинарная область со значением числа Рейнольдса до  $\sim$  0,5. Переходная область со значением числа Рейнольдса  $\sim$  500 и турбулентная область, причем имеем следующие значения степени n:

- 1. Для ламинарной области: n = 5,0.
- 2. Для переходной области:

$$n = 4,65 - 0,78 \lg Pe.$$
 (3)

3. Для турбулентной области: n = 2,65.

В результате многочисленных поверочных расчетов нами, для уравнения (1), были выбраны следующие значения К: для ламинарной области -1, а для переходной и турбулентной областей -0.8. Это значение несколько меньше среднеарифметического значения Kв табл. 4 (что составляет 0,84), но оно дает, при вышеприведенных значениях  $n_{\star}$  результаты, более близкие к экспериментальным.

Таким образом, как приближенные [5], но наиболее достоверные в настоящее время могут быть предложены следующие формулы для определения скорости стесненного падения монодисперсных шарообразных частиц'

1. Ламинарная область: Re < 0.5

$$C = C_0 m^5. (4)$$

2. Переходная область: 0,5 < Re < 500

$$C_0 = 0.8 C_0 m^n, (5)$$

3. Турбулентная область: Re > 500

$$C_0 = 0.8 G_0 m^{2.65}. (6)$$

Для оценки точности предлагаемых формул были рассчитаны значения С при т от 0,5 до 0,9 для всех 47 серий опытов и сравнены с экспериментальными данными. С учетом исправлений, вследствие влияния диаметра колонки на некоторые опыты, почти все отклонения находятся в пределах ± 10%.

#### Принятые обозначения

C — скорость стесненного падения частиц;

 $C_0$  — скорость свободного падения частиц;

 $3 = C : C_0$  — относительная скорость стесненного падения;

объемная доля твердой фазы во взвеси;

 $m = 1 - \varphi$  пористость (объемная доля среды во взвеси);

 $\partial$  — диаметр частицы;

р — плотность среды;

91 - плотность частиц;

р — вязкость среды;

D — диаметр колонки расширения;

а - степень монодисперсности (соотношение диаметров наибольших и наименьших частиц в данной среде).

 $Re = \frac{C_0 \partial \rho}{\mu}$  — число Рейнольдса, отнесенное к свободно падающей

щей частице;

$$Ar = \frac{\partial^3 \rho \left( \rho_1 - \rho \right) g}{\mu^2} -$$
критерий Архимеда.

#### H. U. SHUMRPSULL, H. L. QUITTUSULL

### ՄԱՍՆԻԿՆԵՐԻ ԿԱՇԿԱՆԴՎԱԾ ԱՆԿՈՒՄ ՄՈՆՈԳԻՍՊԵՐՍ ԳՆԳԱՁԵՎ ՄԱՍՆԻԿՆԵՐԻ ԿԱՇԿԱՆԴՎԱԾ ԱՆԿՈՒՄ

(Հաղորդում 2)

#### Udhnined

Նախորդ հաղորդման մեջ |1| ցույց էր արված, որ կաշկանդված անկումն ուսումնասիրող բոլոր հեղինակների՝ դնդաձև մասնիկների համար առաջարկած բանաձևերն ունեն (1) տեսքը, կամ բերվում են այդ տեսքին։ Այնտեղ նշված էր նաև, որ այդ րանաձևերով հաշված արագուխյունները տալիս են մեծ շեղում, որը վերադրվում էր մեխուիկայի որոշ անճշտուխյան։

Սույն հոդվածում ճշտված մեխոդիկայի [1] հիման վրա կատարված է էջսպերիմենտալ լայն ուսումնասիրություն կախված թի եղանակով մոնոդիսպերս դնդաձև մասնիկների կաշկանդված անկման վերաբերլալ։ Որպես պինդ ֆազա օգտագործվել են ապակլա գնդիկներ (նկ. 1), պարաֆինե գնդիկներ (որոնջ պատրաստվել են նկ. 2-ում բերված սխեմայով), կապարե գնդիկներ, պողպատյա առանցջակալների գնդիկներ և ալյումոսիլիկատային գնդիկներ Գընդիկներ մասին մանրամասն տվյալներ տրվում են № 2 աղյուսակում։

Որպես միջավայր օգտագործվել են. տարրեր ջերմաստիճանների (10–90° C) ջուր, գլիցերինի ջրային լուծույթներ (20–95  $^{\circ}$  գլիցերին), սոդայի լուծույթներ և բրոմոֆորմ (իստությունը  $\wp=2,87$  գր./սմ. $^{3}$ )։

Ելննելով փորձերի տարբեր պայմաններից, օգտադործվել են կախված քի հղանակի իրադործման 6 տարբեր սխեմաներ (տես. նկ. նկ. 3—7)։ Այդ սխեմաների կիրառման միջոցով, տարբեր միջավայրում և տարբեր դնդաձև մասնիկների հետ կատարվել են 47 փորձերի սերիաներ, որոնք ընդդրկել են ավելի քան 2500 կաշկանդված անկման արագության չափուժներ։ Փորձերի տվյալները ամփոփված են № 4 աղյուսակում։ Ամփոփիչ բանաձևեր ստանալու նարտակով, այդ տվյալները մշակված են IgC և Igm կոորդինատներում, որտեղ՝ С-կաշկանդված անկման արադությունն է, իսկ m-կախված քի ծակոսակենությունն է։

Մոնոդիսպերս դնդաձև մասնիկների կաշկանդված անկման համար առաջարկված բանաձևերի (4), (5), (6) ճշտու[b]յունը հանդիսանում է  $\pm$  10  $_{\odot}^{0}$ ։

#### ЛИТЕРАТУРА

- 1. Гаспарян А. М. и Заминян А. А. "Известия АН Армянской ССР", (серия технических наук), т. XII, № 4, 1959.
- 2—5. Гаспарян А. М. н Заминян А. А. ДАН Армянской ССР: 2, т. XXIII, № 1, 1956; 3, т. XXIII, № 2, 1956; 4. т. XXV, № 4, 1957; 5, т. XXVI, № 1, 1958.
- 6. Еркова А. Н. н Смирнова Н. И. ЖПХ, т. XXIX, 1175.